

УДК 541.138.3

DOI: 10.17072/2223-1838-2020-4-370-384

**В.И. Кичигин**

Пермский государственный национальный исследовательский университет, Пермь, Россия

**ИМПЕДАНС РЕАКЦИИ ВЫДЕЛЕНИЯ ВОДОРОДА ПО МЕХАНИЗМУ  
ФОЛЬМЕРА-ГЕЙРОВСКОГО ПРИ РАЗЛИЧНОЙ ФОРМЕ ЗАВИСИМОСТИ  
ТЕПЛОТЫ АДСОРБЦИИ ВОДОРОДА ОТ СТЕПЕНИ ЗАПОЛНЕНИЯ**

*Рассчитаны поляризационные кривые и зависимости элементов эквивалентной схемы ( $R_1$ ,  $R_2$ ,  $C_2$ ) от перенапряжения  $\eta$  для реакции выделения водорода при нелинейном изменении свободной энергии адсорбции водорода  $\Delta G_{ads}$  с ростом степени заполнения  $\theta$ . Показано, что поляризационные кривые слабо зависят от вида функции  $g(\theta) = \Delta G_{ads}/RT$ , тогда как параметры фарадеевского импеданса существенно изменяются с  $g(\theta)$ . При зависимой от заполнения  $\Delta G_{ads}$  наблюдаются следующие отличия от ленгмюровской адсорбции: 1) появление индуктивной составляющей импеданса при меньшей константе скорости (при  $\eta = 0$ ) реакции Гейровского по сравнению с константой скорости реакции Фольмера и при равных коэффициентах переноса стадий; 2) не параллельный ход  $lgR_1$ ,  $\eta$ - и  $lgR_2$ ,  $\eta$ - зависимостей при высоких катодных поляризациях.*

**Ключевые слова:** реакция выделения водорода; неленгмюровская адсорбция водорода; импеданс; поляризационная кривая

**V.I. Kichigin**

Perm State University, Perm, Russia

**IMPEDANCE OF THE HYDROGEN EVOLUTION REACTION VIA  
THE VOLMER–HEYROVSKY MECHANISM WITH DIFFERENT FORMS  
OF COVERAGE DEPENDENCE OF THE HEAT OF HYDROGEN ADSORPTION**

*The steady-state polarization curves and overpotential dependences of the equivalent circuit elements ( $R_1$ ,  $R_2$ ,  $C_2$ ) were calculated for the hydrogen evolution at nonlinear variation of the free energy of hydrogen adsorption  $\Delta G_{ads}$  with increasing coverage  $\theta$ . It was shown that the polarization curves depend weakly on the function  $g(\theta) = \Delta G_{ads}/RT$  while the values of the Faradaic impedance parameters depend markedly on  $g(\theta)$ . When  $\Delta G_{ads}$  is coverage-dependent, the following differences from Langmuir adsorption are observed: (i) inductive behavior of impedance at small rate constant of the Heyrovsky reaction compared with rate constant of the Volmer reaction and at equal transfer coefficients of the steps; (ii)  $logR_1$ – $\eta$  curve is off parallel with  $logR_2$ – $\eta$  curve at high cathodic polarizations.*

**Keywords:** hydrogen evolution reaction; non-Langmuir hydrogen adsorption; impedance; polarization curve

Энергетика адсорбции водорода на поверхности электрода играет весьма важную роль в кинетике реакции выделения водорода (РВВ) на различных электрокатализаторах. Одно из основных кинетических уравнений теории замедленного разряда (для кислого раствора) имеет вид [1]:

$$\eta = \text{const} - \frac{Q_{\text{ads}}}{F} - \frac{1-\alpha}{\alpha} \frac{RT}{F} \ln[H^+] + \frac{RT}{\alpha F} \ln i, \quad (1)$$

где  $\eta$  – перенапряжение,  $i$  – плотность тока,  $Q_{\text{ads}}$  – теплота адсорбции атомарного водорода на поверхности электрода,  $\alpha$  – коэффициент переноса стадии разряда ионов водорода; остальные обозначения – общепринятые. При постоянной плотности тока и определенном составе раствора

$$\eta = \text{const} - \frac{Q_{\text{ads}}}{F}, \quad (2)$$

то есть при одинаковой плотности тока разность перенапряжений на двух разных электродах равняется разности теплот адсорбции  $H_{\text{ads}}$ , выраженной в электрических единицах (в предположении равенства энтропий активации) [2].

Для стадий механизма Фольмера–Гейровского соотношения между константами скорости и свободной энергией адсорбции  $\Delta G_{\text{ads}}$  водорода имеют вид [3]:

$$k_1 = k_1^* \exp(-\alpha_1 \Delta G_{\text{ads}} / RT), \quad (3)$$

$$k_{-1} = k_{-1}^* \exp(\beta_1 \Delta G_{\text{ads}} / RT), \quad (4)$$

$$k_2 = k_2^* \exp(\alpha_2 \Delta G_{\text{ads}} / RT), \quad (5)$$

$$k_{-2} = k_{-2}^* \exp(-\beta_2 \Delta G_{\text{ads}} / RT), \quad (6)$$

где  $k_j$  – константы скорости стадий Фольмера ( $j = 1$ ) и Гейровского ( $j = 2$ ) в прямом направлении;  $k_{-j}$  – константы скорости стадий в обрат-

ном направлении;  $k_j^*$  и  $k_{-j}^*$  – константы скорости для металла с  $\Delta G_{\text{ads}} = 0$ ;  $\alpha_1$  и  $\alpha_2$  – коэффициенты переноса стадий Фольмера и Гейровского, соответственно;  $\beta_j = 1 - \alpha_j$ . Соотношения (3)–(6) показывают, что при повышении свободной энергии адсорбции водорода (уменьшение прочности связи металл–водород) константы скорости стадий, связанных с образованием  $H_{\text{ads}}$  ( $k_1$ ,  $k_{-2}$ ), уменьшаются, а константы скорости стадий, связанных с удалением  $H_{\text{ads}}$  с поверхности электрода ( $k_{-1}$ ,  $k_2$ ), увеличиваются. В литературе экспериментальные данные часто приводятся для теплоты адсорбции. Свободная энергия адсорбции рассчитывается по соотношению  $\Delta G_{\text{ads}} = \Delta H_{\text{ads}} - T\Delta S_{\text{ads}}$ , где  $\Delta H_{\text{ads}}$  – энталпия адсорбции водорода ( $-\Delta H_{\text{ads}} = Q_{\text{ads}}$ ),  $\Delta S_{\text{ads}}$  – энтропия хемосорбции водорода. Вопросы определения  $\Delta S_{\text{ads}}$  рассмотрены в работах [4–7].

Наиболее полно анализ кинетики РВВ проводился для случаев, когда для атомарного водорода выполняются изотермы адсорбции Ленгмюра или Темкина. Изотерма Ленгмюра применима к однородным поверхностям при отсутствии взаимодействий между частицами адсорбата. Для выполнения логарифмической изотермы Темкина теплота адсорбции водорода должна линейно уменьшаться с ростом заполнения поверхности водородом [2]:

$$Q_{\text{ads},\theta} = Q_{\text{ads},0} - fRT\theta, \quad (7)$$

где  $Q_{\text{ads},0}$  и  $Q_{\text{ads},0}$  – теплота адсорбции при нулевой степени заполнения  $\theta$  и данной  $\theta$ , соответственно;  $f$  – коэффициент неоднородности, который показывает снижение теплоты адсорбции в единицах  $RT$  ( $RT \approx 2,5 \text{ кДж/моль}$  при  $T = 298 \text{ K}$ ) при переходе от  $\theta = 0$  к  $\theta = 1$ .

Экспериментальные исследования взаимодействия водорода с чистыми металлическими поверхностями далеко не всегда дают линейную зависимость  $Q_{\text{ads}}$  от  $\theta$ . Большинство наблюдаемых зависимостей  $Q_{\text{ads}}(\theta)$  для систем металл-газ [8, 9] можно свести к четырем типам (рис. 1): 1) линейное снижение (кривая 1); 2) вогнутая зависимость (кривая 2); 3) выпуклая зависимость (кривая 3); 4) зависимость, вогнутая при малых заполнениях и выпуклая при высоких заполнениях (кривая 4). Нелинейные зависимости  $Q_{\text{ads}}$  от  $\theta$ , наблюдаются, например, для Fe, Ni, Pt(111), Ta, W [8, 9].

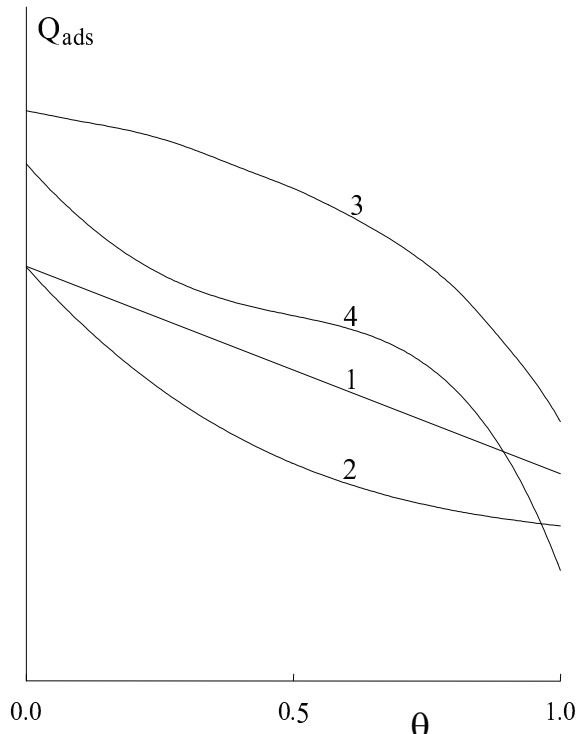


Рис. 1. Основные формы зависимости теплоты адсорбции водорода на металлах из газовой фазы от степени заполнения (схематично)

Присутствие растворителя (воды) и ионов электролита в электрохимических системах оказывает заметное влияние на энталпийную и энтропийную составляющие энергии адсорбции водорода, причем и экспериментально, и

теоретически показано (в основном для Pt, Au), что теплота адсорбции водорода на металле в водной среде ниже, чем в газовой фазе [7, 10–13]. Экспериментальные данные [14–18] показывают, что, в целом, для металлов в растворах электролитов получаются такие же формы кривых  $Q_{\text{ads}}(\theta)$ , как и в газовой фазе (рис. 1). В некоторых случаях (Pt(111) в растворе серной кислоты [14] поликристаллические Pt, Rh в сернокислом электролите [15])  $Q_{\text{ads}}, \theta$ -зависимости близки к прямолинейным, для Pd [15] и Pt(100) [16] в кислых растворах наблюдалась выпуклая  $Q_{\text{ads}}, \theta$ -зависимости, для Pt(100) и Rh в растворах серной кислоты авторы работ [14, 17] получили вогнуто-выпуклые зависимости типа кривой 4 на рис. 1. Следует отметить, что наклон  $|dQ_{\text{ads}}/d\theta|$  для системы Pt/раствор  $\text{H}_2\text{SO}_4$  значительно больше, чем для той же подложки в газовой фазе [15].

Существуют две основные модели для объяснения уменьшения теплоты адсорбции с увеличением количества адсорбата на поверхности: 1) неоднородность поверхности (для выполнения линейного соотношения (7) – равномерно-неоднородная поверхность); 2) отталкивательные взаимодействия между адсорбированными частицами. Довольно высокие экспериментальные разности между значениями теплоты адсорбции водорода при  $\theta = 0$  и  $\theta = 1$  не могут быть обусловлены только гетерогенностью поверхности [19]. Поэтому основным фактором, вызывающим зависимость  $Q_{\text{ads}}$  от  $\theta$ , по-видимому, является латеральное взаимодействие между  $\text{H}_{\text{ads}}$  на поверхности [18].

Взаимодействие между атомами  $\text{H}_{\text{ads}}$  можно разделить на три составляющие [20]: диполь-дипольное взаимодействие (вызвано диполь-

ным характером связи М-Н [1]), взаимодействие при перекрывании электронных оболочек и непрямое взаимодействие через подложку. Прямые взаимодействия между соседними атомами Н (например, связанные с перекрыванием орбиталей), вероятно, незначительны, так как даже при образовании монослоя (один атом Н на один поверхностный атом металла) расстояние Н-Н все еще больше диаметра атома Н [21]. Следовательно, для атомов водорода на металлах основной вклад дает непрямое взаимодействие Н-Н через электроны проводимости [20]. В отдельных работах более важная роль отводится диполь-дипольным взаимодействиям между адсорбированными атомами водорода [22].

Для непрямого взаимодействия характерны анизотропность, дальнодействие и «осцилирующий» характер [20]. Теоретические расчеты энергий связи водород-металл с использованием методов *ab initio* показывают [23, 24], что в зависимости от природы металла, кристаллографии поверхности и заполнения поверхности возможно проявление как отталкивательных, так и притягательных взаимодействий между адатомами водорода, и можно получить выпуклые или вогнутые кривые «энергия адсорбции – степень заполнения». В электрохимических системах дополнительная дестабилизация адсорбированного водорода в двойном электрическом слое вызвана отталкивательными взаимодействиями между  $H_{ads}$  и молекулами воды [12].

Таким образом, зависимость теплоты адсорбции водорода от заполнения может быть не только линейной, но и иметь более сложный вид. Цель данной работы – рассмотреть недостаточно изученный вопрос о влиянии вида

$Q_{ads}, \theta$ -зависимости на импедансные характеристики электрода, на котором протекает реакция выделения водорода.

## Результаты и обсуждение

Уравнения для плотности тока стадий РВВ запишем в виде:

для реакции Фольмера:

$$\begin{aligned} \frac{i_1}{F} &= k_1^0(1-\theta) \exp\left(-\frac{\alpha_1 F \eta}{RT}\right) \exp[-\alpha_1 g(\theta)] - \\ &- k_{-1}^0 \theta \exp\left(\frac{\beta_1 F \eta}{RT}\right) \exp[\beta_1 g(\theta)] = \\ &= k_1(1-\theta) \exp[-\alpha_1 g(\theta)] - k_{-1} \theta \exp[\beta_1 g(\theta)], \quad (8) \end{aligned}$$

для реакции Гейровского:

$$\begin{aligned} \frac{i_2}{F} &= k_2^0 \theta \exp\left(-\frac{\alpha_2 F \eta}{RT}\right) \exp[\alpha_2 g(\theta)] - \\ &- k_{-2}^0 (1-\theta) \exp\left(\frac{\beta_2 F \eta}{RT}\right) \exp[-\beta_2 g(\theta)] = \\ &= k_2 \theta \exp[\alpha_2 g(\theta)] - k_{-2} (1-\theta) \exp[-\beta_2 g(\theta)]. \quad (9) \end{aligned}$$

Здесь  $k_j^0$  – константы скорости при  $\eta = 0$ . Кроме экспонент, содержащих функцию степени заполнения  $g(\theta)$ , в кинетические уравнения входят множители  $\theta$  и  $(1-\theta)$ . Такая форма уравнений более точно описывает кинетику стадий РВВ во всем интервале степени заполнения. При  $g(\theta) = 0$  уравнения (8) и (9) переходят в простые уравнения при изотерме Ленгмюра. Теоретически показано [25], что из-за отталкивательного взаимодействия между атомами водорода адсорбция  $H_2$  не является неактивированной. Поэтому в уравнении для плотности тока реакции Гейровского в экспоненты со степенью заполнения включен коэффициент  $\alpha_2$  (см. [26]).

Можно показать, что равенство

$$\frac{k_1^0 k_2^0}{k_{-1}^0 k_{-2}^0} = 1 \quad (10)$$

справедливость которого была установлена [27] при ленгмюровской изотерме адсорбции, выполняется также при любом виде функции  $g(\theta)$  и любых  $\alpha_1$  и  $\alpha_2$ . При  $\eta = 0$  устанавливаются равновесия реакций Фольмера и Гейровского:

$$k_1^0(1-\theta_0)\exp[-\alpha_1 g(\theta_0)] = k_{-1}^0\theta_0 \exp[\beta_1 g(\theta_0)], \quad (11)$$

$$k_2^0\theta_0 \exp[\alpha_2 g(\theta_0)] = k_{-2}^0(1-\theta_0) \exp[-\beta_2 g(\theta_0)], \quad (12)$$

где  $\theta_0$  – равновесная степень заполнения. Из (11) и (12) следует:

$$\frac{\theta_0}{1-\theta_0} = \frac{k_1^0}{k_{-1}^0} \exp[-g(\theta_0)], \quad (13)$$

$$\frac{\theta_0}{1-\theta_0} = \frac{k_{-2}^0}{k_2^0} \exp[-g(\theta_0)]. \quad (14)$$

Разделив (13) на (14), получаем равенство (10).

В уравнениях (8) и (9),  $g(\theta)$  – положительная функция заполнения. Для описания нелинейных зависимостей теплоты или энергии адсорбции водорода от  $\theta$  будем использовать степенные функции. Выпуклые и вогнутые (на интервале  $(0,1)$ ) кривые «энергия адсорбции–степень заполнения» можно описать полиномом второй степени

$$g = g_1\theta + g_2\theta^2, \quad (15)$$

а выпукло-вогнутые кривые – полиномом третьей степени

$$g = g_1\theta + g_2\theta^2 + g_3\theta^3. \quad (16)$$

В уравнениях (8), (9) нужно учесть только изменения энергии адсорбции водорода с заполнением, поэтому в выражениях (15), (16) свободный член  $g_0$  отсутствует. Знаки в экспонентах с  $g(\theta)$  в (8)–(9) и приводимые ниже знаки и величины  $g_1$ ,  $g_2$  и  $g_3$  даны для изменений свободной энергии адсорбции (см. уравнения (3)–(6)). Эти знаки противоположны знакам в зависимостях теплоты адсорбции от  $\theta$ . Но если

имеется нелинейность зависимости  $Q_{ads}$  от  $\theta$ , то она сохранится и для  $\Delta G_{ads}$ , так как энтропия адсорбированного водорода слабо зависит от заполнения поверхности [5].

Суммарная плотность тока РВВ равна

$$i = i_1 + i_2. \quad (17)$$

Стационарная степень заполнения  $\theta$  поверхности электрода адсорбированным водородом находится из условия  $i_1 = i_2$ , то есть решением уравнения

$$k_1(1-\theta)\exp[-\alpha_1 g(\theta)] - k_{-1}\theta \exp[\beta_1 g(\theta)] - k_2\theta \exp[\alpha_2 g(\theta)] + k_{-2}(1-\theta) \exp[-\beta_2 g(\theta)] = 0. \quad (18)$$

Уравнение (18) решали численно модифицированным методом Ньютона.

При моделировании импеданса электрода, на котором протекает РВВ, используется эквивалентная электрическая схема, представленная на рис. 2 [28]. В этой схеме  $R_s$  – сопротивление раствора,  $C_{dl}$  – емкость двойного электрического слоя,  $R_1$ ,  $R_2$  и  $C_2$  – элементы фарадеевского импеданса. Общие выражения для  $R_1$ ,  $R_2$  и  $C_2$  при выбранных знаках для плотности тока и перенапряжения имеют вид [29]:

$$R_1 = -\frac{1}{a_1 + a_2}, \quad (19)$$

$$R_2 = -\frac{(a_1 - a_2)(b_1 + b_2)}{2(a_1 + a_2)(a_2 b_1 - a_1 b_2)}, \quad (20)$$

$$C_2 = q_1 \frac{(a_1 + a_2)^2}{(a_1 - a_2)(b_1 + b_2)}. \quad (21)$$

Здесь используются обозначения:

$$a_1 = \left( \frac{\partial i_1}{\partial \eta} \right)_\theta; \quad a_2 = \left( \frac{\partial i_2}{\partial \eta} \right)_\theta; \quad b_1 = \left( \frac{\partial i_1}{\partial \theta} \right)_\eta; \quad b_2 = \left( \frac{\partial i_2}{\partial \theta} \right)_\eta;$$

$q_1$  – заряд, необходимый для образования монослоя  $H_{ads}$ .

При проведении расчетов принимали  $q_1 = 200$  мККл/см<sup>2</sup>.

Вид эквивалентной схемы (рис. 2) и общие выражения (19)–(21) для ее элементов не зависят от вида функции  $g(\theta)$ , однако характер  $g(\theta)$  определяет конкретные выражения для элементов эквивалентной схемы и зависимость элементов схемы от перенапряжения. Частные производные от  $i_1$  и  $i_2$  по  $\eta$  и  $\theta$  записываются следующим образом:

$$\frac{1}{F} \left( \frac{\partial i_1}{\partial \eta} \right)_\theta = -\frac{\alpha_1 F}{RT} k_1 (1-\theta) \exp[-\alpha_1 g(\theta)] - \frac{-\beta_1 F}{RT} k_{-1} \theta \exp[\beta_1 g(\theta)], \quad (22)$$

$$\frac{1}{F} \left( \frac{\partial i_2}{\partial \eta} \right)_\theta = -\frac{\alpha_2 F}{RT} k_2 \theta \exp[\alpha_2 g(\theta)] - \frac{-\beta_2 F}{RT} k_{-2} (1-\theta) \exp[-\beta_2 g(\theta)], \quad (23)$$

$$\frac{1}{F} \left( \frac{\partial i_1}{\partial \theta} \right)_\eta = -k_1 \exp(-\alpha_1 g(\theta)) \left[ 1 + \alpha_1 (1-\theta) \frac{\partial g(\theta)}{\partial \theta} \right] - k_{-1} \exp(\beta_1 g(\theta)) \left[ 1 + \beta_1 \theta \frac{\partial g(\theta)}{\partial \theta} \right], \quad (24)$$

$$\frac{1}{F} \left( \frac{\partial i_2}{\partial \theta} \right)_\eta = k_2 \exp(\alpha_2 g(\theta)) \left[ 1 + \alpha_2 \theta \frac{\partial g(\theta)}{\partial \theta} \right] + k_{-2} \exp(-\beta_2 g(\theta)) \left[ 1 + \beta_2 (1-\theta) \frac{\partial g(\theta)}{\partial \theta} \right]. \quad (25)$$

При использовании (15):

$$\partial g(\theta)/\partial \theta = g_1 + 2g_2 \theta,$$

при использовании (16)

$$\partial g(\theta)/\partial \theta = g_1 + 2g_2 \theta + 3g_3 \theta.$$

Подстановка выражений (22)–(25) в (19)–(21) дает окончательные выражения  $R_1$ ,  $R_2$  и  $C_2$ , по которым проводились вычисления.

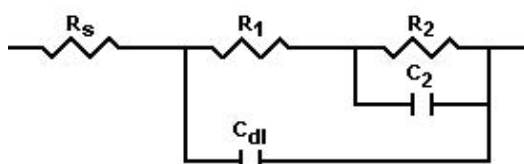


Рис. 2. Эквивалентная электрическая схема

Для расчетов использованы следующие значения коэффициентов в функции  $g(\theta)$ : 1)  $g_1 = 5$ ,  $g_2 = 5$  (вогнутая функция  $g(\theta) = \Delta G_{ads}/RT$ , соответствует выпуклой зависимости  $\Delta Q_{ads}$  от  $\theta$ ); 2)  $g_1 = 5$ ,  $g_2 = 10$ ; 3)  $g_1 = 10$ ,  $g_2 = 10$ ; 4)  $g_1 = 10$ ,  $g_2 = -5$ ; 5)  $g_1 = 20$ ,  $g_2 = -10$ ; 6)  $g_1 = 10$ ,  $g_2 = -10$ ,  $g_3 = 10$ . Для сравнения расчеты также проведены для изотермы Ленгмюра ( $g_1 = g_2 = g_3 = 0$ ) и изотермы Темкина ( $g_1 \neq 0$ ;  $g_2 = g_3 = 0$ ). В последнем случае рассматривали два варианта – полные уравнения (8) и (9) либо уравнения (8) и (9) без  $\theta$  и  $(1-\theta)$ , которые обычно используются в работах по кинетике РВВ при выполнении логарифмической изотермы Темкина (справедливой в области средних заполнений,  $0,2 < \theta < 0,8$ ).

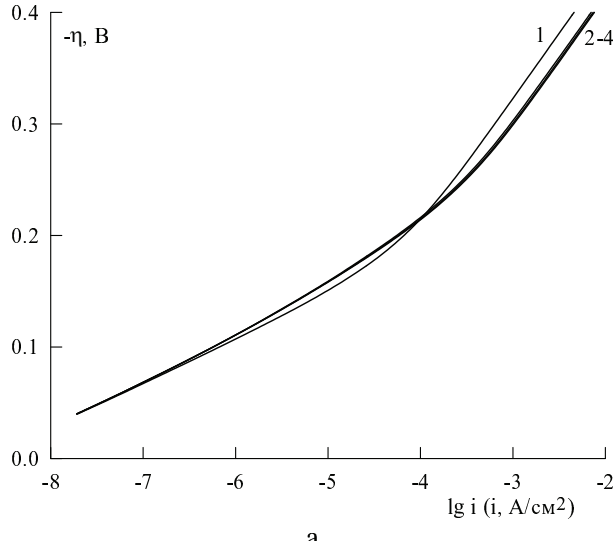
При  $\alpha_1 = \alpha_2 = 0,5$  катодная поляризационная кривая при изотерме Ленгмюра для  $H_{ads}$ , как известно [30], имеет два тафелевских участка с наклонами 39,4 и 118 мВ; первый участок отвечает квазиравновесию на стадии Фольмера, второй – необратимым стадиям процесса. Эти два участка были получены при расчетах, если использовались сравнительно высокие значения  $k_j^0$  (рис. 3а). При заданных  $k_j^0$  предельная степень заполнения  $\theta_l$  в области необратимости обеих стадий равна 0,909 (рис. 3б, кривая 1), так как выражается соотношением [27]

$$\theta_l = \frac{k_1}{k_1 + k_2} = \frac{k_1^0}{k_1^0 + k_2^0}. \quad (26)$$

При ненулевых  $g_j$  наклон первого участка на поляризационной кривой повышается до 43 мВ, а наклон второго участка не изменяется (рис. 3а).

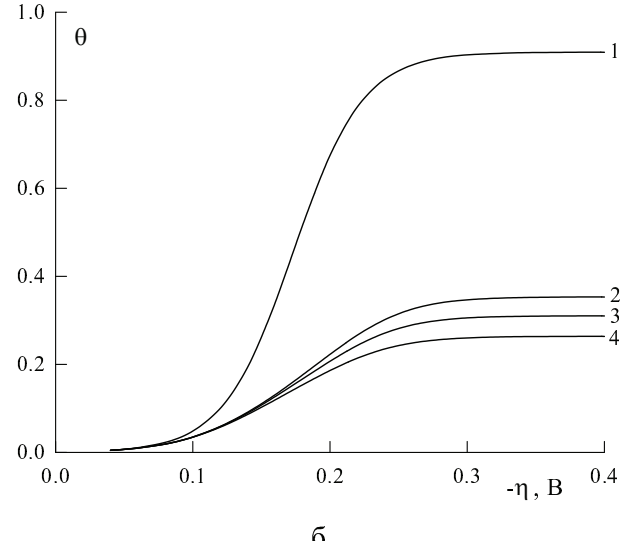
Численные значения  $g_1$  и  $g_2$  оказывают очень слабое влияние на ход поляризационной кривой: при  $g_1 = 10$  и  $g_2 = 10$ , 0 и  $-5$  поляризацион-

ные кривые почти сливаются друг с другом. Более значительное влияние величины  $g_1$  и  $g_2$  оказывают на степень заполнения поверхности



а

адсорбированным водородом; чем больше значение  $g_2$  при  $g_1 = \text{const}$ , тем меньше  $\theta$  (рис. 3б).



б

Рис. 3. Поляризационные кривые (а) и зависимости степени заполнения от перенапряжения (б) при  $k_1^0 = 10^{-10}$ ,

$k_{-1}^0 = 10^{-7}$ ,  $k_2^0 = 10^{-11}$  (все константы скорости – в моль/(см<sup>2</sup>·с)),  $\alpha_1 = \alpha_2 = 0,5$ .

1 – изотерма Ленгмюра ( $g_1 = g_2 = g_3 = 0$ ); 2 –  $g_1 = 10$ ,  $g_2 = -5$ ; 3 –  $g_1 = 10$ ,  $g_2 = 0$ ; 4 –  $g_1 = 10$ ,  $g_2 = 10$

Графики зависимостей  $\lg R_1$ ,  $\lg R_2$  и  $\lg C_2$  от  $\eta$  для ленгмюровской изотермы адсорбции и  $\alpha_1 = \alpha_2 = 0,5$  (рис. 4) согласуются с [31]. Как показано в [31], при лимитирующей стадии Фольмера при низких потенциалах электрода наблюдается индуктивное поведение импеданса ( $R_2 < 0$ ,  $C_2 < 0$ ), а при лимитирующей стадии Гейровского область  $R_2 < 0$ ,  $C_2 < 0$  отсутствует. Существенным отличием импеданса при неленгмюровской адсорбции ( $g_1 \neq 0$ , при учете множителей  $\theta$  и  $(1-\theta)$  в (8) и (9)) является то, что в этом случае область  $R_2 < 0$ ,  $C_2 < 0$  при достаточно низких потенциалах электрода имеется даже при  $k_2^0 \ll k_1^0$ ; на рис. 4 области положительных и отрицательных значений  $R_2$  и  $C_2$  разделены точками разрыва на  $\lg R_2$ ,  $\eta$ - и  $\lg C_2$ ,  $\eta$ -кривых при  $\eta \approx -0,29$  В (при  $\eta \leq -0,3$  В приводятся  $\lg |R_2|$ ,  $\eta$ - и  $\lg |C_2|$ ,  $\eta$ -кривые).

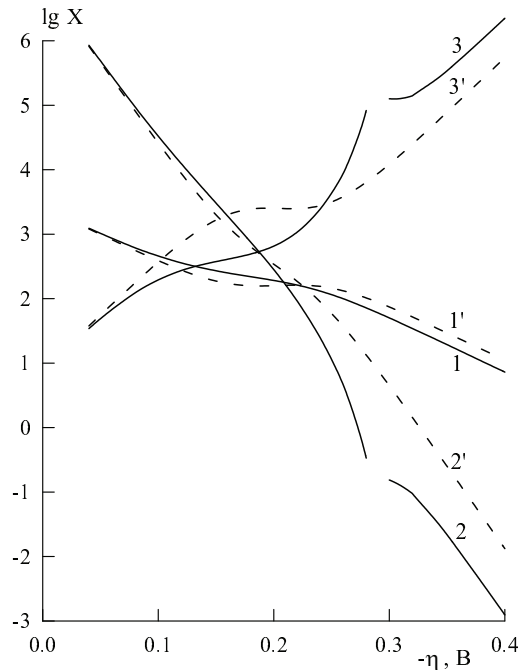


Рис. 4. Зависимости  $\lg X$  ( $X = R_1, R_2, C_2$ ) от перенапряжения при  $k_1^0 = 10^{-10}$ ,  $k_{-1}^0 = 10^{-7}$ ,  $k_2^0 = 10^{-11}$  (все константы скорости – в моль/(см<sup>2</sup>·с)),  $\alpha_1 = \alpha_2 = 0,5$ . Сплошные линии –  $g_1 = 10$ ,  $g_2 = 10$ ; штриховые линии –  $g_1 = 0$ ,  $g_2 = 0$ . 1, 1' –  $\lg R_1$ ; 2, 2' –  $\lg R_2$ ; 3, 3' –  $\lg C_2$ .

Сопротивления – в Ом·см<sup>2</sup>, емкость – в мкФ/см<sup>2</sup>

Это, вероятно, можно объяснить тем, что при понижении потенциала электрода степень заполнения увеличивается, эффективная константа скорости реакции Фольмера  $k_1' = k_1^0 \exp[-\alpha_1 g(\theta)]$  уменьшается, эффективная константа скорости реакции Гейровского  $k_2' = k_2^0 \exp[\alpha_2 g(\theta)]$  увеличивается, и при достаточно высокой катодной поляризации начинает выполняться соотношение  $k_2' > k_1'$ , при котором возможно появление индуктивности в фарадеевском импедансе [31]. При уменьшении равных  $\alpha_1$  и  $\alpha_2$  граница между областями положительных и отрицательных значений  $R_2$  и  $C_2$  сдвигается в катодном направлении, а величина  $\theta_l$  увеличивается. При одних и тех же значениях  $k_j^0$  значения  $R_1$  и  $R_2$  в области низких потенциалов при неленгмюровской адсорбции меньше, чем в условиях выполнения изотермы адсорбции Ленгмюра (рис. 4). Это также можно

объяснить тем, что отношение констант скорости  $k_2/k_1$  при  $g_1 \neq 0$  увеличивается при понижении потенциала электрода.

При  $\alpha_1 \neq \alpha_2$  катодная поляризационная кривая при изотерме Ленгмюра для  $H_{ads}$  также имеет два тафелевских участка; наклон первого участка также равен 39 мВ, а наклон второго участка при коэффициенте переноса лимитирующей стадии  $\alpha_2 = 0,4$  равен 145 мВ (рис. 5а). При заданных  $k_j^0$  степень заполнения в области необратимости обеих стадий стремится не к 0,909, а к единице (рис. 5б, кривая 1), так как из-за более высокого значения  $\alpha_1$  по сравнению с  $\alpha_2$  отношение  $k_1/k_2$  при понижении потенциала электрода непрерывно возрастает. При ненулевых  $g_j$  наклон первого участка на поляризационной кривой повышается до 48 мВ, а наклон второго участка несколько уменьшается (рис. 5).

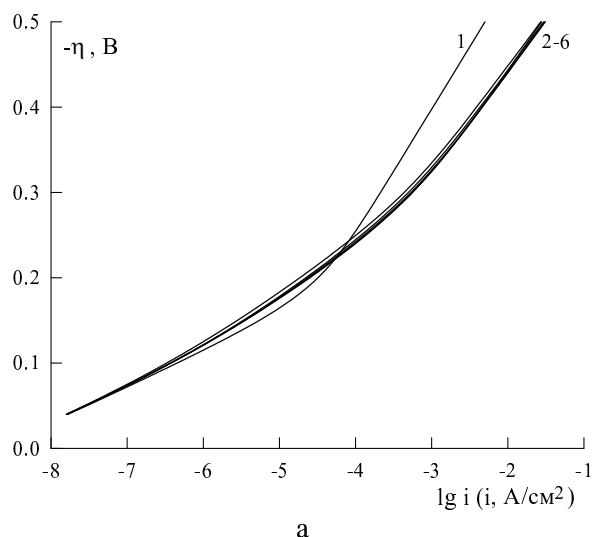
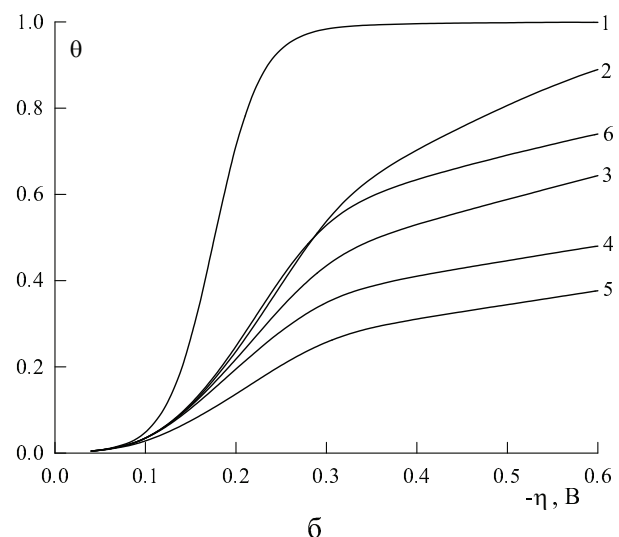


Рис. 5. Поляризационные кривые (а) и зависимости степени заполнения от перенапряжения (б) при  $k_1^0 = 10^{-10}$ ,

$$k_1^0 = 10^{-7}, k_2^0 = 10^{-11} \text{ (все константы скорости – в моль/(см}^2\cdot\text{с})}, \alpha_1 = 0,6, \alpha_2 = 0,4.$$

- 1 – изотерма Ленгмюра ( $g_1 = g_2 = g_3 = 0$ ); 2 –  $g_1 = 10, g_2 = -5$ ; 3 –  $g_1 = 10, g_2 = 0$ ; 4 –  $g_1 = 10, g_2 = 10$ ;  
5 –  $g_1 = 20, g_2 = 0$ ; 6 –  $g_1 = 10, g_2 = -10, g_3 = 10$



Как и в случае равных коэффициентов переноса, численные значения  $g_1$  и  $g_2$  оказывают слабое влияние на ход поляризационной кривой.

Вид  $\theta, \eta$ -кривых значительно более чувствителен к величинам коэффициентов  $g_i$  (рис. 5б). Чем больше значение  $g_2$  при  $g_1 = \text{const}$ , тем

меньше  $\theta$ , увеличение  $g_1$  при  $g_2 = \text{const}$  также приводит к уменьшению степени заполнения при одинаковых  $\eta$  (рис. 5б). На рис. 6 приведены расчетные  $\lg X, \eta$ -кривые ( $X = R_1, R_2, C_2$ ) при  $\alpha_1 \neq \alpha_2$  и различных значениях  $g_1$  и  $g_2$ . Переход от изотермы Ленгмюра ( $g_1 = g_2 = 0$ ) к неленгмюровской адсорбции водорода приводит к значительному уменьшению сопротивлений  $R_1$  и  $R_2$  и увеличению емкости  $C_2$ . Основная причина этого заключается в том, что при понижении потенциала электрода и увеличении степени заполнения уменьшается прочность связи металл-водород, что ведет к увеличению константы скорости реакции Гейровского (в данном случае – скорость-определяющей стадии).

При перенапряжениях от  $-0,15$  до  $-0,25$  В наклон  $\lg R_1, \eta$ - и  $\lg C_2, \eta$ -кривых весьма мал. Например, при  $g_1 = 10, g_2 = 10$  наклон  $\lg C_2, \eta$ -кривой составляет  $-1,2 \text{ В}^{-1}$  (рис. 6).

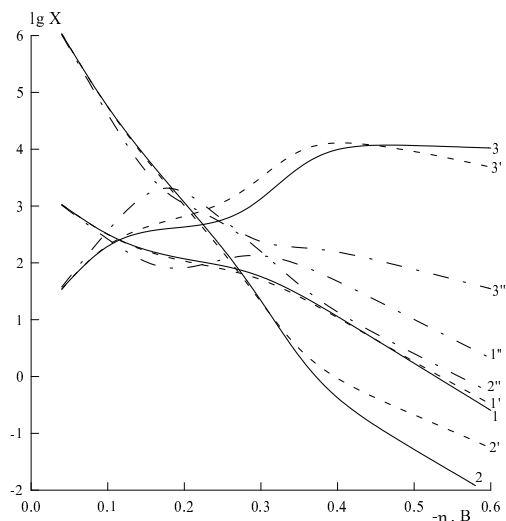


Рис. 6. Зависимости  $\lg X$  ( $X = R_1, R_2, C_2$ )

от перенапряжения при  $k_1^0 = 10^{-10}, k_{-1}^0 = 10^{-7}, k_2^0 = 10^{-11}$  (все константы скорости – в моль/(см<sup>2</sup>·с)),  $\alpha_1 = 0,6, \alpha_2 = 0,4$ . Сплошные линии –  $g_1 = 10, g_2 = 10$ ; штриховые линии –  $g_1 = 10, g_2 = -5$ ; штрихпунктирные линии –  $g_1 = 0, g_2 = 0$ .

$1,1',1'' - \lg R_1; 2,2',2'' - \lg R_2; 3,3',3'' - \lg C_2$ .

Сопротивления – в Ом·см<sup>2</sup>, емкость – в мкФ/см<sup>2</sup>

В столь малых величинах  $d\lg R_1/d\eta$  и  $d\lg C_2/d\eta$  проявляется некоторое сходство с поведением данных элементов эквивалентной схемы при логарифмической изотерме Темкина, когда  $R_1$  и  $C_2$  при квазиравновесной реакции Фольмера не зависят от перенапряжения [31]. Особенностью импеданса РВВ при  $\alpha_1 \neq \alpha_2$  и  $g_i \neq 0$  является непараллельность  $\lg R_1, \eta$ - и  $\lg R_2, \eta$ -кривых в области полностью необратимых стадий Фольмера и Гейровского (рис. 6). При этом величина  $\lg(R_1/R_2)$ , в отличие от случая изотермы Ленгмюра, зависит не только от значений  $\alpha_1$  и  $\alpha_2$ , но и от значений  $g_i$  (рис. 7).

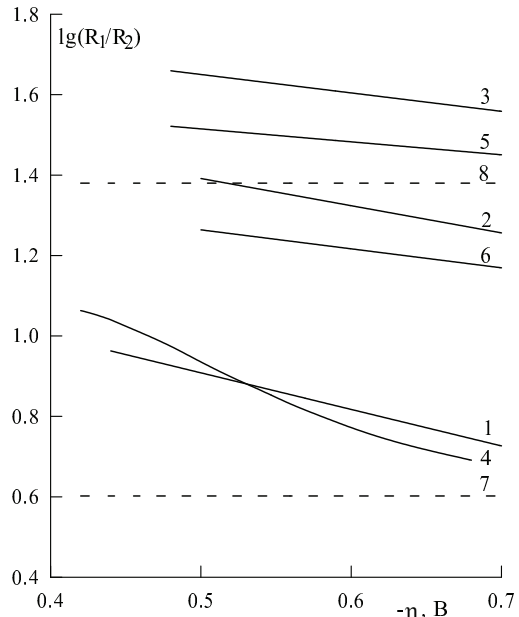


Рис. 7. Зависимости  $\lg(R_1/R_2)$  от перенапряжения при  $k_1^0 = 10^{-10}, k_{-1}^0 = 10^{-7}, k_2^0 = 10^{-11}$  (все константы скорости – в моль/(см<sup>2</sup>·с)),  $\alpha_1 = 0,6, \alpha_2 = 0,4$ .  
 1 –  $g_1 = 5, g_2 = 0$ ; 2 –  $g_1 = 10, g_2 = 0$ ; 3 –  $g_1 = 20, g_2 = 0$ ; 4 –  $g_1 = 10, g_2 = -5$ ; 5 –  $g_1 = 10, g_2 = 10$ ; 6 –  $g_1 = 10, g_2 = -10, g_3 = 10$ ; 7 –  $g_1 = 0, g_2 = 0$  (изотерма Ленгмюра);  
 8 –  $f = 10$  (логарифмическая изотерма Темкина)

Можно отметить, что для выпуклой функции  $g(\theta)$  значения  $R_1/R_2$  меньше, чем для вогнутой  $g(\theta)$ , и в случае выпуклой функции  $g(\theta)$

наблюдается более быстрый спад величины  $\lg(R_1/R_2)$  с ростом  $|\eta|$ . На рис. 7 также показаны два случая, когда  $R_1/R_2$  не зависит от перенапряжения. Один из этих случаев – изотерма Ленгмюра для  $H_{ads}$ , когда

$$\frac{R_1}{R_2} = \frac{2\alpha_2}{\alpha_1 - \alpha_2}, \quad (27)$$

второй случай – логарифмическая изотерма Темкина, при выполнении которой из [31] следует соотношение

$$\frac{R_1}{R_2} = \frac{4\alpha_1\alpha_2}{(\alpha_1 - \alpha_2)^2}. \quad (28)$$

Поляризационная кривая для выпукло-вогнутой зависимости  $g(\theta)$  при  $g_1 = 10, g_2 = -10, g_3 = 10$  очень близка к кривым на рис. 5а при ненулевом  $g_1$ , зависимость степени заполнения от перенапряжения (рис. 5б, кривая 6) занимает промежуточное положение между зависимостями для  $g_1 = 10, g_2 = 0$  и для  $g_1 = 10, g_2 = -5$ . Зависимости логарифмов значений элементов эквивалентной схемы от  $\eta$  при указанных  $g_1, g_2$  и  $g_3$  (рис. 8) довольно близки к соответствующим кривым при  $g_1 = 10, g_2 = 10$ ; для выпукло-вогнутой зависимости несколько выше значения  $\lg C_2$  при средних  $\eta$  и значения  $\lg R_2$  при больших  $|\eta|$ . Кроме того, для выпукло-вогнутой зависимости отношения  $R_1/R_2$  в области необратимых стадий имеют меньшие значения (рис. 7).

Выше рассматривались соотношения  $k_1^0 > k_2^0$ . Если взять обратное соотношение, например,  $k_1^0 = 10^{-12}, k_1^0 = 10^{-7}, k_2^0 = 10^{-11}, \alpha_1 = \alpha_2 = 0,5, g_1 = 10, g_2 = 10$ , то можно отметить следующие особенности по сравнению с  $k_1^0 > k_2^0$ : а) переход от положительных  $R_2$  и  $C_2$  к отрицательным  $R_2$  и  $C_2$  происходит при меньшей катодной поляризации; б) отсутствуют области

слабой зависимости  $\lg R_1$  и  $\lg C_2$  от перенапряжения (при  $-\eta \approx 0,15–0,25$  В), что, вероятно, связано с малыми значениями  $\theta$  ( $\theta \approx 0,05$  при указанных значениях констант скорости).

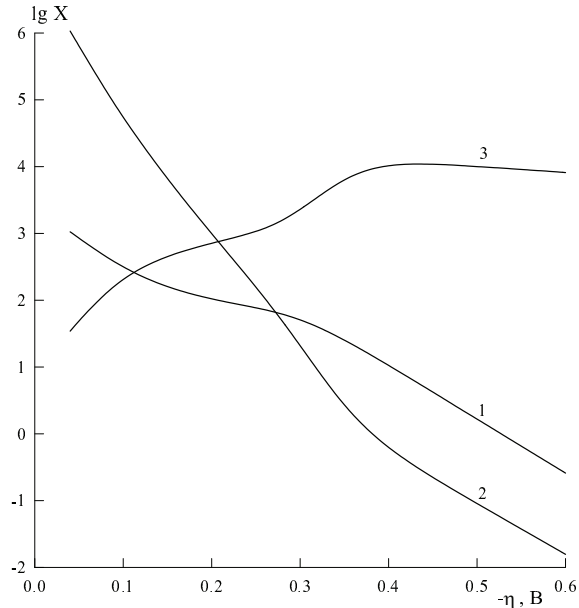


Рис. 8. Зависимости  $\lg X$  ( $X = R_1, R_2, C_2$ ) от перенапряжения при  $k_1^0 = 10^{-10}, k_1^0 = 10^{-7}, k_2^0 = 10^{-11}$  (все константы скорости – в моль/(см<sup>2</sup>·с)),  $\alpha_1 = 0,6, \alpha_2 = 0,4, g_1 = 10, g_2 = -10, g_3 = 10$ ; 1 –  $\lg R_1$ ; 2 –  $\lg R_2$ ; 3 –  $\lg C_2$ .

Сопротивления – в Ом·см<sup>2</sup>, емкость – в мкФ/см<sup>2</sup>

## Заключение

Были проведены расчеты стационарных поляризационных кривых, зависимостей «степень заполнения поверхности адсорбированным водородом  $\theta$  – перенапряжение  $\eta$ » и элементов эквивалентной схемы, описывающей границу раздела электрод-раствор, на которой протекает реакция выделения водорода, в предположении, что теплота  $Q_{ads}$  или свободная энергия адсорбции  $\Delta G_{ads}$  водорода нелинейно изменяется при увеличении  $\theta$ . Рассмотрены различные функции  $g(\theta) = \Delta G_{ads}/RT$  – линейная, выпуклая, вогнутая, выпукло-вогнутая (на интервале (0,1)). Расчеты показали, что поляризационные

кривые слабо зависят от формы зависимости  $\Delta G_{\text{ads}}(\theta)$ . В то же время зависимости  $\theta$  и величин элементов эквивалентной схемы от перенапряжения существенно изменяются при изменении вида функции  $g(\theta)$ .

Учет множителей  $\theta$  и  $(1-\theta)$  в кинетических уравнениях (8) и (9) приводит к тому, что исчезают области независимости  $R_1$  и  $C_2$  от перенапряжения, которые наблюдаются для логарифмической изотермы Темкина при отсутствии  $\theta$  и  $(1-\theta)$  [31]. Однако остаются сравнительно узкие (0,1–0,15 В) области перенапряжения, в которых наклоны  $d\lg R_1/d\eta$  и  $d\lg C_2/d\eta$  не равны нулю, но имеют весьма малые значения.

Установлено, что при уменьшении теплоты адсорбции водорода с ростом  $\theta$  индуктивное поведение импеданса ( $R_2 < 0$ ,  $C_2 < 0$ ) при достаточно низких потенциалах электрода наблюдается при  $k_2^0 \ll k_1^0$  и  $\alpha_1 = \alpha_2$ , то есть в условиях, когда при выполнении изотермы адсорбции Ленгмюра индуктивная составляющая импеданса отсутствует. Еще одной особенностью импеданса РВВ при зависимой от  $\theta$  энергии адсорбции водорода и неравных  $\alpha_1$  и  $\alpha_2$  является непараллельность  $\lg R_1, \eta$ - и  $\lg C_2, \eta$ -кривых в области необратимости реакций Фольмера и Гейровского, причем отношение  $R_1/R_2$  зависит не только от  $\eta$ , значений  $\alpha_1$  и  $\alpha_2$ , но и от вида функции  $g(\theta)$ .

### Библиографический список

1. Фрумкин А.Н., Багоцкий В.С., Иофа З.А., Кабанов Б.Н. Кинетика электродных процессов. М.: Изд-во Моск. ун-та, 1952. 319 с.
2. Кришталик Л.И. Кинетика реакций на границе раздела металл-раствор // Двойной слой и электродная кинетика. М.: Наука, 1981. С.198–282.
3. Saraby-Reintjes A.J. The hydrogen evolution reaction under mixed kinetic control // Journal of the Chemical Society, Faraday Transactions I: Physical Chemistry in Condensed Phases. 1986. Vol. 82, № 11. P. 3343–3355.
4. Conway B.E., Angerstein-Kozlowska H., Sharp W.B.A. Temperature and pressure effects on surface processes at noble metal electrodes. Part 1. Entropy of chemisorption of H at Pt surfaces // Journal of the Chemical Society, Faraday Transactions I: Physical Chemistry in Condensed Phases. 1978. Vol. 74. P. 1373–1389.
5. Garcia-Araes N., Climent V., Feliu J.M. Determination of the entropy of formation of the Pt(111) | perchloric acid solution interface. Es-
- timation of the entropy of adsorbed hydrogen and OH species // Journal of Solid State Electrochemistry. 2008. Vol.12. P. 387–398.
6. Garcia-Araes N., Climent V., Feliu J.M. Analysis of temperature effects on hydrogen and OH adsorption on Pt(111), Pt(100) and Pt(110) by means of Gibbs thermodynamics // Journal of Electroanalytical Chemistry. 2010. Vol. 649. P. 69–82.
7. Yang G., Akhade S.A., Chen X., Liu Y., Lee M.-S., Glezakou V.-A., Rousseau R., Lercher J.A. Nature of hydrogen adsorption on platinum in the aqueous phase // Angewandte Chemie International Edition. 2019. Vol. 58, № 11. P. 3527–3532.
8. Сокольский Д.В., Друзь В.А. Введение в теорию гетерогенного катализа. М.: Высшая школа, 1981. 215 с.
9. Christmann K. Interaction of hydrogen with solid surfaces // Surface Science Reports. 1988. Vol. 9. P. 1–163.
10. Roudgar A., Groß A. Hydrogen adsorption energies on bimetallic overlayer systems at the

- solid–vacuum and the solid–liquid interface // *Surface Science*. 2005. Vol. 597. P. 42–50.
11. *Ishikawa Y., Mateo J.J., Tryk D.A., Cabrera C.R.* Direct molecular dynamics and density-functional theoretical study of the electrochemical hydrogen oxidation reaction and underpotential deposition of H on Pt(111) // *Journal of Electroanalytical Chemistry*. 2007. Vol. 607. P. 37–46.
  12. *Jinnouchi R., Kodama K., Morimoto Y.* DFT calculations on H, OH and O adsorbate formations on Pt(111) and Pt(332) electrodes // *Journal of Electroanalytical Chemistry*. 2014. Vol. 716. P. 31–44.
  13. *Gossenberger F., Juarez F., Groß A.* Sulfate, bisulfate, and hydrogen co-adsorption on Pt(111) and Au(111) in an electrochemical environment // *Frontiers in Chemistry*. 2020. Vol. 8. Article 634.
  14. *Will F.G.* Hydrogen adsorption on platinum single crystal electrodes. I. Isotherms and heats of adsorption // *Journal of the Electrochemical Society*. 1965. Vol. 112, № 4. P. 451–455.
  15. *Breiter M.W.* Characterization of the surface of platinum metals and platinum metal alloys by hydrogen adsorption and comparison of the results with other techniques // *Electrochemical Processes in Fuel Cells*. New York, Springer Verlag, 1969. P. 48–77.
  16. *Ross P.N.* Hydrogen chemisorption on Pt single crystal surfaces in acidic solutions // *Surface Science*. 1981. Vol. 102. P. 463–485.
  17. *Jerkiewicz G., Zolfaghari A.* Comparison of hydrogen electroadsorption from the electrolyte with hydrogen adsorption from the gas phase // *Journal of the Electrochemical Society*. 1996. Vol. 143, № 4. P. 1240–1248.
  18. *Гарсия-Араес H., Климент B., Фелью X.M.* Температурные эффекты на платиновых монокристаллических электродах // Электрохимия. 2012. Т. 48, № 3. С. 299–308.
  19. *Segal E.* Modèle du gaz électronique bidimensionnel dans la chemisorption sur métaux // *Revue Roumaine de Chimie*. 1969. Vol. 14, № 1. P. 45–55.
  20. *Агеев В.Н., Бурмистрова О.П., Потехина Н.Д., Соловьев С.М.* Хемосорбция водорода на металлах // *Взаимодействие водорода с металлами*. М.: Hayka, 1987. С. 18–60.
  21. *Christmann K.* Adsorption of hydrogen on a nickel (100) surface // *Zeitschrift für Naturforschungen*. 1979. Bd. 34a. S. 22–29.
  22. *Lischka M., Groß A.* Hydrogen on palladium: A model system for the interaction of atoms and molecules with metal surfaces // *Recent Developments in Vacuum Science and Technology / J. Dąbrowski (Ed.)*. 2003. P. 111–132.
  23. *Johansson M., Skúlason E., Nielsen G., Murphy S., Nielsen R.M., Chorkendorff I.* Hydrogen adsorption on palladium and palladium hydride at 1 bar // *Surface Science*. 2010. Vol. 604. P. 718–729.
  24. *Gudmundsdóttir S., Skúlason E., Weststrate K.-J., Juurlink L., Jónsson H.* Hydrogen adsorption and desorption at the Pt(110)-(1×2) surface: experimental and theoretical study // *Physical Chemistry Chemical Physics*. 2013. Vol. 15. P. 6323–6332.
  25. *Groß A.* Ab initio molecular dynamics simulations of the adsorption of H<sub>2</sub> on palladium surfaces // *ChemPhysChem*. 2010. Vol. 11. P. 1374–1381.
  26. *Gileadi E., Conway B.E.* Kinetic theory of adsorption of intermediates in electrochemical catalysis // *Journal of Chemical Physics*. 1963. Vol. 39, № 12. P. 3420–3430.
  27. *Фрумкин А.Н.* Об исследовании механизма электролитического выделения водорода методом введения дополнительных коли-

- честв атомарного водорода на поверхность электрода // Журнал физической химии. 1957. Т. 31, № 8. С. 1875–1890.
28. *Lasia A.* Electrochemical Impedance Spectroscopy and its Applications. Springer Science + Business Media. New York, 2014. 367 p.
29. *Кичигин В.И., Шерстобитова И.Н., Кузнеццов В.В.* Импеданс реакции выделения водорода на железном электроде в растворах серной кислоты. I. Чистые растворы  $H_2SO_4$  // Электрохимия. 1976. Т. 12, № 2. С. 249–255.
30. *Lasia A.* Mechanism and kinetics of the hydrogen evolution reaction // International Journal of Hydrogen Energy. 2019. Vol. 44. P. 19484–19518.
31. *Kichigin V.I., Shein A.B.* Diagnostic criteria for hydrogen evolution mechanisms in electrochemical impedance spectroscopy // *Electrochimica Acta*. 2014. Vol. 138. P. 325–333.

#### References

1. Frumkin, A.N., Bagotsky, V.S., Iofa, Z.A. and Kabanov, B.N. (1952), *Kinetika elektrodykh protsessov* [Kinetics of electrode processes], Moscow University, Moscow. (In Russ.)
2. Krishtalik, L.I. (1981), “The kinetics of reactions at the metal-solution interface”, in: *Dvoynoy sloy i elektrodnaya kinetika* [Double layer and electrode kinetics], Nauka, Moscow, pp. 198–282. (In Russ.)
3. Saraby-Reintjes, A.J. (1986), “The hydrogen evolution reaction under mixed kinetic control”, *Journal of the Chemical Society, Faraday Transactions I: Physical Chemistry in Condensed Phases*, vol. 82, no 11, pp. 3343–3355.
4. Conway, B.E., Angerstein-Kozlowska, H. and Sharp, W.B.A. (1978), “Temperature and pressure effects on surface processes at noble metal electrodes. Part 1. Entropy of chemisorption of H at Pt surfaces”, *Journal of the Chemical Society, Faraday Transactions I: Physical Chemistry in Condensed Phases*, vol. 74, pp. 1373–1389.
5. Garcia-Araes, N., Climent, V. and Feliu, J.M. (2008), “Determination of the entropy of formation of the Pt(111) | perchloric acid solution interface. Estimation of the entropy of adsorbed hydrogen and OH species”, *Journal of Solid State Electrochemistry*, vol.12, pp. 387–398.
6. Garcia-Araes, N., Climent, V. and Feliu, J.M. (2010), “Analysis of temperature effects on hydrogen and OH adsorption on Pt(111), Pt(100) and Pt(110) by means of Gibbs thermodynamics”, *Journal of Electroanalytical Chemistry*, vol. 649, pp. 69–82.
7. Yang, G., Akhade, S.A., Chen, X., Liu, Y., Lee, M.-S., Glezakou, V.-A., Rousseau, R. and Lercher J.A. (2019), “Nature of hydrogen adsorption on platinum in the aqueous phase”, *Angewandte Chemie International Edition*, vol. 58, no 11, pp. 3527–3532.
8. Sokolsky, D.V. and Druz’, V.A. (1981), *Vvedenie v teoriyu geterogenogo kataliza* [Introducion to the theory of heterogeneous catalysis], Vysshaya shkola, Moscow. (In Russ.)
9. Christmann, K. (1988), “Interaction of hydrogen with solid surfaces”, *Surface Science Reports*, vol. 9, pp. 1–163.
10. Roudgar, A. and Groß, A. (2005), “Hydrogen adsorption energies on bimetallic overlayer systems at the solid–vacuum and the solid–liquid interface”, *Surface Science*, vol. 597, pp. 42–50.
11. Ishikawa, Y., Mateo, J.J., Tryk, D.A. and Cabrera, C.R. (2007), “Direct molecular dynamics and density-functional theoretical study of the electrochemical hydrogen oxidation reaction and underpotential deposition of H on Pt(111)”, *Journal of Electroanalytical Chemistry*, vol. 607, pp. 37–46.

12. Jinnouchi, R., Kodama, K. and Morimoto, Y. (2014), “DFT calculations on H, OH and O adsorbate formations on Pt(111) and Pt(332) electrodes”, *Journal of Electroanalytical Chemistry*, vol. 716, pp. 31–44.
13. Gossenberger, F., Juarez, F. and Groß, A. (2020), “Sulfate, bisulfate, and hydrogen co-adsorption on Pt(111) and Au(111) in an electrochemical environment”, *Frontiers in Chemistry*, vol. 8, Article 634.
14. Will, F.G. (1965), “Hydrogen adsorption on platinum single crystal electrodes. I. Isotherms and heats of adsorption”, *Journal of the Electrochemical Society*, vol. 112, no 4, pp. 451–455.
15. Breiter, M.W. (1969), “Characterization of the surface of platinum metals and platinum metal alloys by hydrogen adsorption and comparison of the results with other techniques”, *Electrochemical Processes in Fuel Cells*. New York, Springer Verlag, pp. 48–77.
16. Ross, P.N. (1981), “Hydrogen chemisorption on Pt single crystal surfaces in acidic solutions”, *Surface Science*, vol. 102, pp. 463–485.
17. Jerkiewicz, G. and Zolfaghari, A. (1996), “Comparison of hydrogen electroadsoption from the electrolyte with hydrogen adsorption from the gas phase”, *Journal of the Electrochemical Society*, vol. 143, no 4, pp. 1240–1248.
18. Garcia-Araes, N., Climent, V. and Feliu, J.M. (2012). “Temperature effects on platinum single-crystal electrodes”, *Electrochemistry*, vol. 48, no 3, pp. 299–308. (In Russ.)
19. Segal, E. (1969), “Modèle du gaz électronique bidimensionnel dans la chemisorption sur métaux”, *Revue Roumaine de Chimie*, vol. 14, no 1, pp. 45–55.
20. Ageev, V.N., Burmistrova, O.P., Potekhina, N.D. and Soloviev, S.M. (1987), “Chemisorption of hydrogen on metals”, in: *Vzaimodeistvie vodoroda s metallami* [Interaction of hydrogen with metals], Nauka, Moscow, pp. 18–60. (In Russ.)
21. Christmann, K. (1979), “Adsorption of hydrogen on a nickel (100) surface”, *Zeitschrift für Naturforschungen*, vol. 34a, pp. 22–29.
22. Lischka, M. and Groß, A. (2003), “Hydrogen on palladium: A model system for the interaction of atoms and molecules with metal surfaces”, in: J. Dąbrowski (Ed.), *Recent Developments in Vacuum Science and Technology*, pp. 111–132.
23. Johansson, M., Skúlason, E., Nielsen, G., Murphy, S., Nielsen, R.M. and Chorkendorff, I. (2010), “Hydrogen adsorption on palladium and palladium hydride at 1 bar”, *Surface Science*, vol. 604, pp. 718–729.
24. Guðmundsdóttir, S., Skúlason, E., Weststrate, K.-J., Juurlink, L. and Jónsson H. (2013), “Hydrogen adsorption and desorption at the Pt(110)-(1×2) surface: experimental and theoretical study”, *Physical Chemistry Chemical Physics*, vol. 15, pp. 6323–6332.
25. Groß, A. (2010), “Ab initio molecular dynamics simulations of the adsorption of H<sub>2</sub> on palladium surfaces”, *Chem Phys Chem*, vol. 11, pp. 1374–1381.
26. Gileadi, E. and Conway, B.E. (1963), “Kinetic theory of adsorption of intermediates in electrochemical catalysis”, *Journal of Chemical Physics*, vol. 39, no 12, pp. 3420–3430.
27. Frumkin, A.N. (1957), “On investigation of the mechanism of electrolytic hydrogen evolution by means of supply of additional amounts of atomic hydrogen to the electrode surface”, *Russian Journal of Physical Chemistry*, vol. 31, no 8, pp. 1875–1890. (In Russ.)
28. Lasia, A. (2014), *Electrochemical Impedance Spectroscopy and its Applications*, New York, Springer Science + Business Media.

29. Kichigin, V.I., Sherstobitova, I.N. and Kuznetsov, V.V. (1976), “Impedance of the hydrogen evolution reaction on iron electrode in sulfuric acid solutions. I. Pure solutions of  $H_2SO_4$ ”, *Electrochemistry*, vol. 12, no 2, pp. 249–255. (In Russ.)
30. Lasia, A. (2019), “Mechanism and kinetics of the hydrogen evolution reaction”, *International Journal of Hydrogen Energy*, vol. 44, pp. 19484–19518.
31. Kichigin, V.I. and Shein, A.B. (2014), “Diagnostic criteria for hydrogen evolution mechanisms in electrochemical impedance spectroscopy”, *Electrochimica Acta*, vol. 138, pp. 325–333.

### Об авторах

Кичигин Владимир Иванович,  
кандидат химических наук, старший научный  
сотрудник кафедры физической химии  
Пермский государственный национальный  
исследовательский университет  
614990, г. Пермь, ул. Букирева, 15.  
kichigin@psu.ru

### About the authors

Kichigin Vladimir Ivanovich,  
candidate of chemistry, senior researcher of the  
Department of physical chemistry,  
Perm State University  
15, Bukireva st., Perm, Russia  
kichigin@psu.ru

### Информация для цитирования:

Кичигин В.И. Импеданс реакции выделения водорода по механизму Фольмера–Гейровского при различной форме зависимости теплоты адсорбции водорода от степени заполнения // Вестник Пермского университета. Серия «Химия». 2020. Т. 10, вып. 4. С. 370–384. DOI: 10.17072/2223-1838-2020-4-370-384.

Kichigin V.I. *Impedans reaktsii vydeleniya vodoroda po mekhanizmu Fol'mera–Geyrovskogo pri razlichnoy forme zavisimosti teploty adsorbsii vodoroda ot stepeni zapolneniya* [Impedance of the hydrogen evolution reaction via the volmer–heyrovsky mechanism with different forms of coverage dependence of the heat of hydrogen adsorption] // Vestnik Permskogo universiteta. Seriya «Khimiya» = Bulletin of Perm University. Chemistry. 2020. Vol. 10. Issue 4. P. 370–384 (in Russ.). DOI:10.17072/2223-1838-2020-3-370-384